

บทที่ 4

ผลการทดลอง

1. ผลการทำงานของ เอนไซม์ ซัคชินิกดีไอโกรจิเนส ในบันังคคลูกหมูระยะก่อนที่จะมีการปั้งตัวของตัวอ่อน (L_4) ไกบวชีวิเคราะห์ทางชีวเคมี. จากตารางที่ 3 และกราฟที่ 1

การทำงานของ เอนไซม์ ซัคชินิกดีไอโกรจิเนส ในบันังคคลูกหมูของปกติ, หมูหองที่ถูกตัดรังไข่ออกหั้งสองข้างเมื่อ L_3 , หมูหองที่ถูกตัดรังไข่ออกหั้งสองข้างเมื่อ L_3 และไครรับ progesterone และหมูหองไครรับยากประสาท stelazine ในระยะ $L_1 - L_3$ เมื่อanon กัน ($P < 0.01$) แต่ในหมูหองที่ถูกตัดรังไข่ออกหั้งสองข้างเมื่อ L_3 แล้วไครรับ progesterone และ oestrogen มีค่าสูงกว่าในหมูหองปกติ ($P < 0.05$).

2. ผลการทำงานของ เอนไซม์ ซัคชินิกดีไอโกรจิเนส ในบันังคคลูกหมูที่มีการปั้งตัวของตัวอ่อน (L_6) ไกบวชีวิเคราะห์ทางชีวเคมี. จากตารางที่ 4 และกราฟที่ 2

การทำงานของ เอนไซม์ ซัคชินิกดีไอโกรจิเนส ในบันังคคลูกหมูของปกติและหมูหองที่ถูกตัดรังไข่ออกหั้งสองข้างเมื่อ L_3 และไครรับ progesterone และ oestrogen เมื่อanon กัน ($P < 0.01$) แยกผลการทำงานของเอนไซม์ของหมูหองปกติมีค่าสูงกว่าหมูหองที่ถูกตัดรังไข่ออกหั้งสองข้างเมื่อ L_3 . หมูหองที่ถูกตัดรังไข่เมื่อ L_3 และไครรับprogesterone และหมูหองไครรับยากประสาท stelazine ระยะ $L_1 - L_5$ ($P < 0.01$)

3. ผลเปรียบเทียบการทำงานของ เอนไซม์ ซัคชินิกดีไอโกรจิเนส ในบันังคคลูกหมูระยะก่อนที่จะมีการปั้งตัวของตัวอ่อน (L_4) กับระยะที่มีการปั้งตัวของตัวอ่อน (L_6) ไกบวชีวิเคราะห์ทางชีวเคมี.

การทำงานของ เอนไซม์ ซัคชินิกดีไอโกรจิเนส ในบันังคคลูกหมูระยะก่อนที่จะมีการปั้งตัวของตัวอ่อน (L_4) และระยะที่มีการปั้งตัวของตัวอ่อน (L_6) แตกต่างกัน การทำงานของเอนไซม์ ในบันังคคลุกระยะก่อนที่จะมีการปั้งตัวของตัวอ่อนของหมูหอง (L_4) ที่ถูกตัดรังไข่หั้งสองข้างเมื่อ L_3 , หมูหองที่ถูกตัดรังไข่หั้งสองข้างเมื่อ L_3 และฉีด progesterone และหมูหองที่ไครรับยากประสาท stelazine มีการทำงานของเอนไซม์เพิ่ลง กับหมูหองปกติ ส่วนการทำงานของเอนไซม์ในหมูหองที่ถูกตัดรังไข่หั้งสองข้างเมื่อ L_3 และฉีด progesteroneและ oestrogen สูงกว่าของหมูหองปกติ ในทางตรงข้าม การทำงานของเอนไซม์ในบันังคคลุกระยะที่มีการปั้งตัวของตัวอ่อน (L_6) ของหมูหอง

ที่ถูกตั้งรังไข่หั้งสองข้างเมื่อ L₃, หนูห้องที่ถูกตั้งรังไข่หั้งสองข้างเมื่อ L₃ และนิสัย progesterone และหนูห้องที่ได้รับยาดมาร์สาห์ stelazine มีการคำนวณการทำงานของเอนไซม์นี้ในเนื้องอกหลักหนูห้องปกติและหนูห้องที่ถูกตั้งรังไข่หั้งสองข้างเมื่อ L₃ แล้วฉีด progesterone และ oestrogen ซึ่งมีการทำงานของเอนไซม์นี้เพิ่มขึ้นกัน

4. ผลการทำงานของ เอนไซม์ ชักซินิกคีไบโกรจีนส ในเนื้องอกหลักแย่มสเตอโรร์ระบบที่ปั้งตัวของตัวอ่อน (L₆) โดยวิธีวิเคราะห์ทางชีวเคมี. จากตารางที่ 5 และกราฟที่ 4

การทำงานของ เอนไซม์ ชักซินิกคีไบโกรจีนส ในเนื้องอกหลักแย่มสเตอโรร์ห้องปกติ, แย่มสเตอโรร์ห้องหัดถูกตั้งรังไข่หั้งสองข้างเมื่อ L₃, แย่มสเตอโรร์ห้องได้รับยาดมาร์สาห์ stelazine แย่มสเตอโรร์ห้องที่ถูกตั้งรังไข่หั้งสองข้างเมื่อ L₃ และได้รับ progesterone และ แย่มสเตอโรร์ห้องที่ถูกตั้งรังไข่หั้งสองข้างเมื่อ L₃ และได้รับ progesterone และ oestrogen ทุกการทดลองได้ผลเพิ่มขึ้นกัน ($P < 0.01$).

5. ผลเปลี่ยนเทบบการทำงานของ เอนไซม์ ชักซินิกคีไบโกรจีนส ในเนื้องอกหลักหนูกับแย่มสเตอโรร์ระบบที่ปั้งตัวของตัวอ่อน (L₆) โดยวิธีวิเคราะห์ทางชีวเคมี.

การทำงานของเอนไซม์ ชักซินิกคีไบโกรจีนส ในเนื้องอกหลักหนูกับแย่มสเตอโรร์ระบบที่ปั้งตัวของตัวอ่อน (L₆) พบว่าแตกต่างกัน การทำงานของเอนไซม์ในหนูห้องที่ถูกตั้งรังไข่หั้งสองข้างเมื่อ L₃, หนูห้องที่ถูกตั้งรังไข่หั้งสองข้างเมื่อ L₃ และนิสัย progesterone และหนูห้องได้รับยาดมาร์สาห์ stelazine ทดลองคำนวณปั๊กคิ ส่วนหนูห้องที่ถูกตั้งรังไข่หั้งสองข้างเมื่อ L₃ และนิสัย progesterone และ oestrogen จะเห็นจากภายนอกจนถึงวันที่ 5 นับแต่ห้าวในการทำงานของเอนไซม์เพิ่มขึ้นในหนูห้องปกติ แต่ในแย่มสเตอโรร์การห้าวให้สักวัน ลูองชา steroid hormones โดยการตั้งรังไข่ห้องรือฉีด stelazine การตั้งรังไข่แล้วให้ progesterone และ oestrogen เพิ่มจากภายนอกไม่มีผลเปลี่ยนแปลงการทำงานของเอนไซม์เลย.

6. ผลการทำงานของ เอนไซม์ อคีโนเซนไทรฟอสฟາเกส ในเนื้องอกหลักหนูก่อนระยะที่มีการปั้งตัวของตัวอ่อน (L₆) โดยวิธีวิเคราะห์ทางชีวเคมี. จากตารางที่ 6 และกราฟที่ 6

การทำงานของ เอนไซม์ อคีโนเซนไทรฟอสฟາเกส ในเนื้องอกหลักหนูก ฯ ทำการทดลองให้ผลเพิ่มขึ้นโดยทางสถิติ ($P < 0.01$).

7. ผลการทำงานของ เอนไซม์ อคีโนเซนไทรฟอสฟາเกส ในเนื้องอกหลักหนูระบบที่มีการปั้งตัวของตัวอ่อน (L₆) โดยวิธีวิเคราะห์ทางชีวเคมี. จากตารางที่ 7 และกราฟที่ 7

การทำงานของ เอ็นไซม์ อคีโนซีนไทรฟอสฟ่าเเกส ในยังมดลูกหมูกุ้ง ๆ การทดลองให้ผลเพิ่มขึ้นกับไข่ทางสถิติ ($P < 0.01$)

8. ผลเปรียบเทียบการทำงานของ เอ็นไซม์ อคีโนซีนไทรฟอสฟ่าเเกส ในยังมดลูกหมู ระหว่างเดือนที่มีการปั้งตัวของตัวอ่อน (L_4) กับระยะที่มีการปั้งตัวของตัวอ่อน (L_6) โดยวิธีเคราะห์ทางชีวเเคมี.

การทำงานของ เอ็นไซม์ อคีโนซีนไทรฟอสฟ่าเเกส ในยังมดลูกหมูห้องระยะที่มี การปั้งตัวของตัวอ่อน (L_6) หลัง treatment ไม่แตกต่างจากหมูพ้องบาก ($P < 0.01$) เช่นเดียวกันกับหมูห้องระยะเดือนที่จะมีการปั้งตัวของตัวอ่อน (L_4).

9. ผลการทำงานของ เอ็นไซม์ อคีโนซีนไทรฟอสฟ่าเเกส ในยังมดลูกหมูแยกเดือนที่มีการปั้งตัวของตัวอ่อน (L_6) โดยวิธีเคราะห์ทางชีวเเคมี. จากตารางที่ 8 และกราฟที่ 9

การทำงานของ เอ็นไซม์ อคีโนซีนไทรฟอสฟ่าเเกส ในยังมดลูกหมูแยกเดือนที่มี ปักศีให้ผลเพิ่มขึ้นตามเดือนเดือนที่ได้รับยาแก้ประจำเดือน stelazine, แมลงสเตอร์อลห้องห้อง ตัวครัวง่ายอย่างตั้งของข้างเดียวได้รับ progesterone, แมลงสเตอร์อลห้องห้องที่ถูกตัดครัวง่ายอย่างตั้งของข้างแล้วได้รับ progesterone และ oestrogen ($P < 0.01$) แต่ไม่ต่างกันจากการทำงาน ของ เอ็นไซม์ในยังมดลูกหมูแยกเดือนที่ถูกตัดครัวง่ายอย่างตั้งของข้าง ($P < 0.05$)

10. ผลเปรียบเทียบการทำงานของ เอ็นไซม์ อคีโนซีนไทรฟอสฟ่าเเกส ในยังมดลูกหมู ถูกลดลงเดือนที่มีการปั้งตัวของตัวอ่อน (L_6) โดยวิธีเคราะห์ทางชีวเเคมี.

การทำงานของ เอ็นไซม์ในยังมดลูกหมูห้องห้องที่ถูกตัดครัวง่ายอย่างตั้งของข้าง เมื่อ L_3 แล้วฉีด progesterone และหมูห้องห้องที่ได้รับยาแก้ประจำเดือน stelazine ดูแลกวนหูห้องห้องปักศีและ พนูหูห้องห้องที่ถูกตัดครัวง่ายอย่างตั้งของข้าง เมื่อ L_6 และฉีด progesterone และ oestrogen แคพดา ในแมลงสเตอร์อลห้องห้องที่ถูกตัดครัวง่ายอย่างตั้งของข้างแล้วได้รับ progesterone และแยกเดือนเดือนที่ได้รับยาแก้ประจำเดือน stelazine แมลงสเตอร์อลห้องห้องที่ถูกตัดครัวง่ายอย่างตั้งของข้าง เมื่อ L_3 แล้วฉีด progesterone และ oestrogen แคพดา หมูและแยกเดือนเดือนที่ถูกตัดครัวง่ายอย่างตั้งของข้าง เมื่อ L_3 มีการทำงานไปลดลงกัน.

บัญชีภาพที่ 1

รูปที่ 1 a นิคลูกลองหุ้มเสกงลักษณะโครงสร้างของเยื่อบนประกอบด้วย

Bv = Blood vessel

En = Endometrium

Ep = Epithelium

G = Gland

L = Lumen

cM = circular Muscle

lM = longitudinal Muscle

Me = Mesometrium side

aMe = Antimesometrium side

My = Myometrium

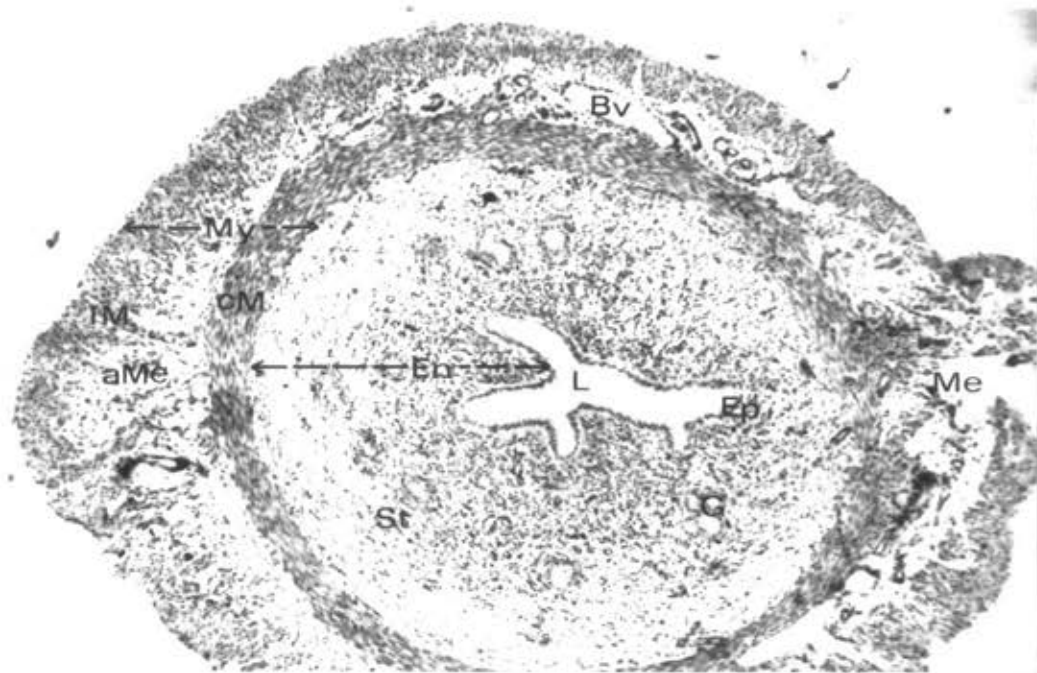
St = Stroma

ข้อมูลการสืบสาน Haematoxylin และ Eosin

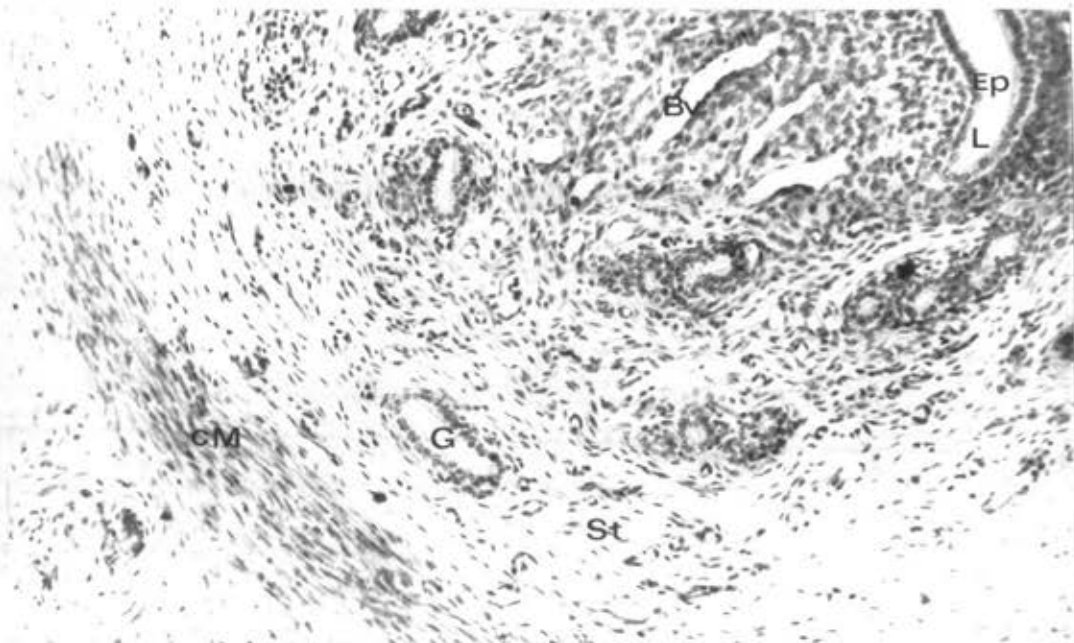
กำลังขยาย X 64

รูปที่ 1 b นิคลูกลองหุ้มเสกงราบรื่น เอ็บกของชั้นกลาง ๆ

กำลังขยาย X 160



1a



1b

แบบภาพที่ 2

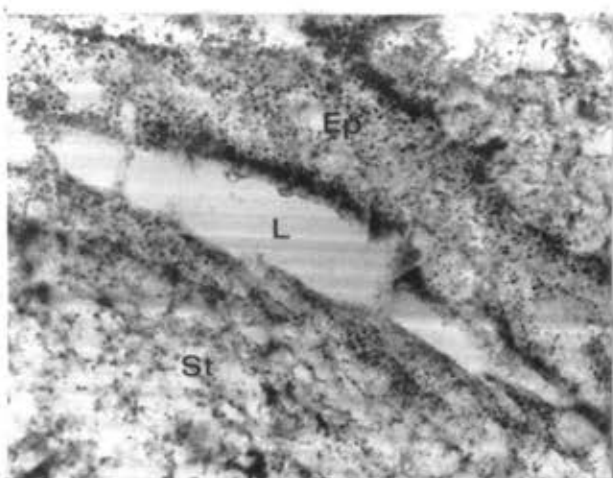
รูปที่ 2 a - f แสดง Succinic dehydrogenase activity ในเยื่องมดสูญเสีย L₄

รูปที่ 2 a,c,e. เป็นของหนูปกติ

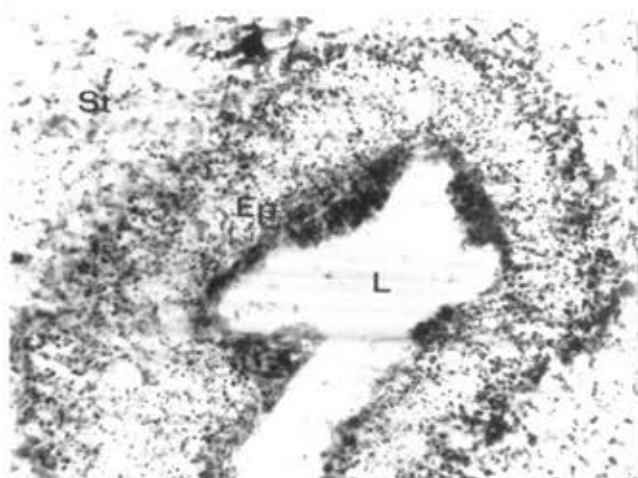
รูปที่ 2 b,d,f. เป็นของหนูห้องตัวรังไข่หั้งสองข้าง แล้วได้รับ

progesterone + oestrogen

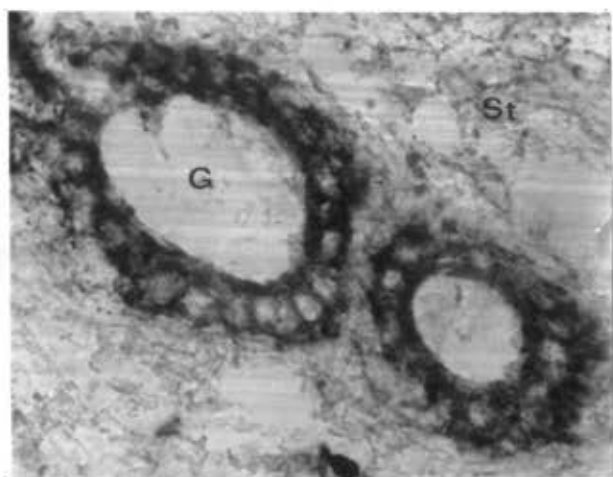
กำลังขยาย x 490



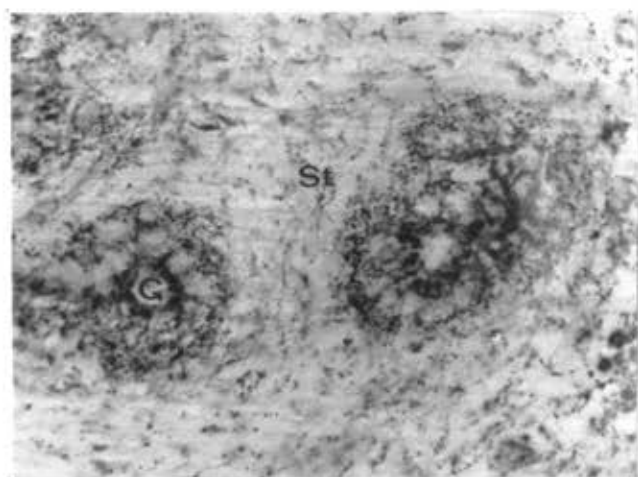
2 a



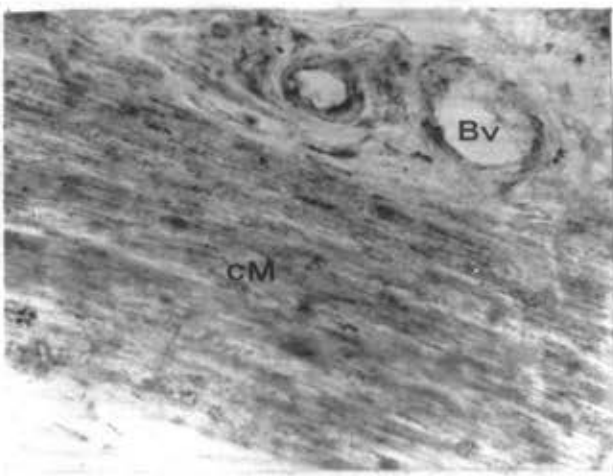
2 b



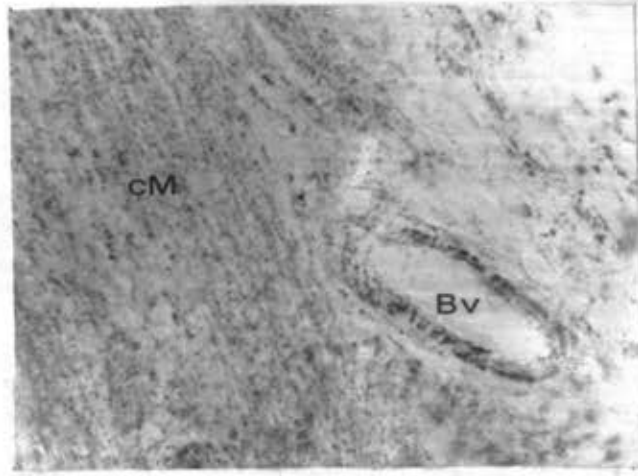
2 c



2 d



2 e



2 f

ແບ່ນກາພີ້ 3

ຮູບທີ 3 a - d ແລະຄງ Succinic dehydrogenase activity ໃນຜັນນົມຄູກຫຼຸງ L₆
ທີ່ lumen ແລະ stroma

ຮູບທີ 3 a ເປັນຂອງຫຼຸງປົກຕິ

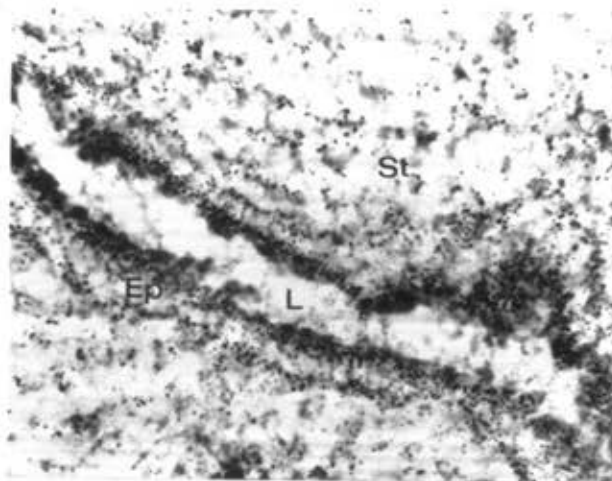
ຮູບທີ 3 b ເປັນຂອງຫຼຸງທອງກັດຮັງໃຫ້ຫັ້ງສອງໜ້າງ

ຮູບທີ 3 c ເປັນຂອງຫຼຸງທອງໄກ້ຮັນຍາກຄປະສາກ

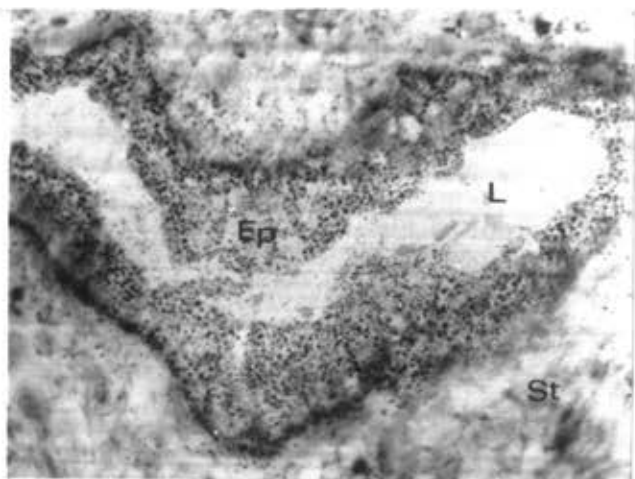
ຮູບທີ 3 d ເປັນຂອງຫຼຸງທອງກັດຮັງໃຫ້ຫັ້ງສອງໜ້າງ ແລ້ວໄກ້ຮັນ

progesterone

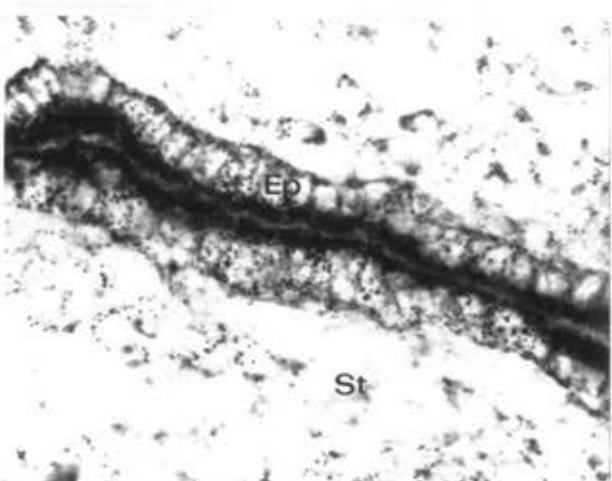
ກ່າລັງຂບາບ X 490



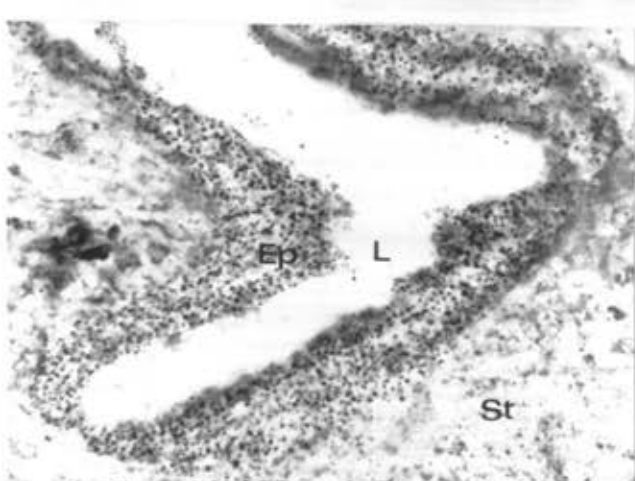
3 a



3 b



3 c



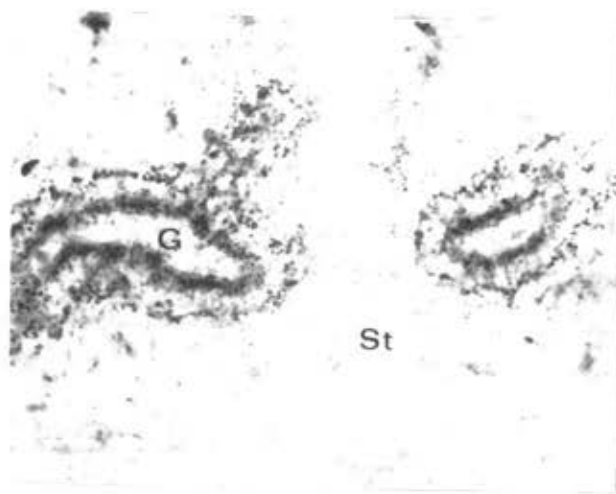
3 d

แผนภาพที่ 4

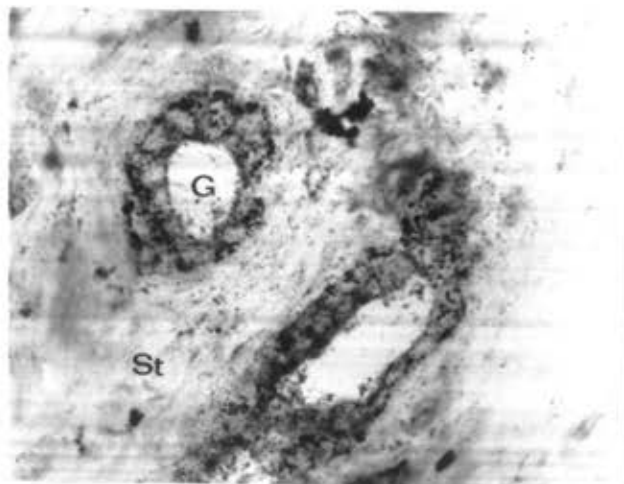
รูปที่ 4 a - d แสดง Succinic dehydrogenase activity ในเยื่องกลูกหมู L₆
ที่ Gland และ Stroma

- รูปที่ 4 a เป็นของเหยูปอกดี
- รูปที่ 4 b เป็นของเหยูหอง ตั้งรังไข่หงส์สองชั้ง
- รูปที่ 4 c เป็นของเหยูหอง ไก่รับยาดีประจำท
- รูปที่ 4 d เป็นของเหยูหอง ตั้งรังไข่หงส์สองชั้งแล้วไก่รับ
progesterone

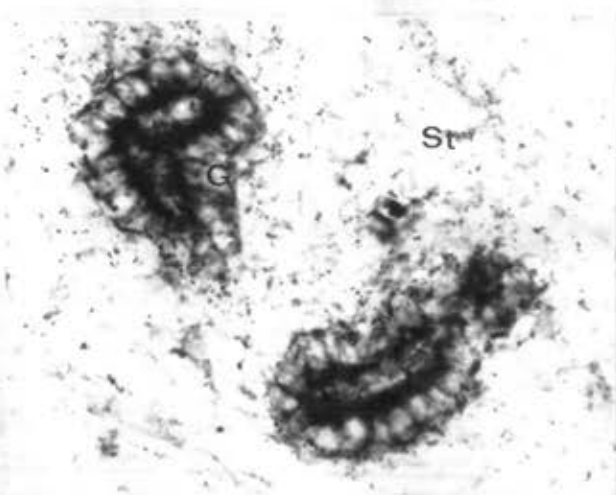
กำลังขยาย X 490



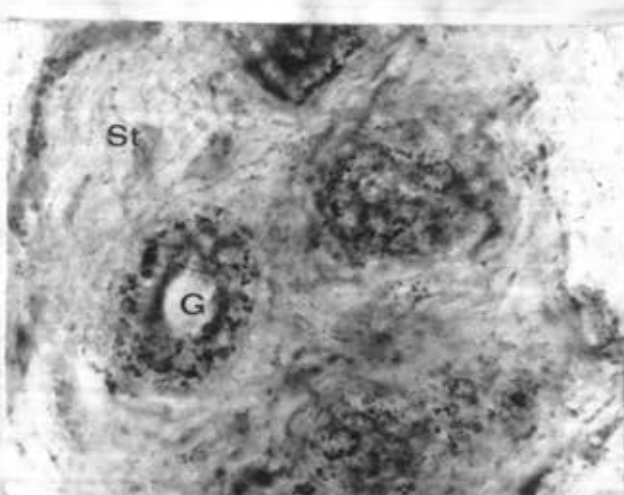
4a



4b



4c



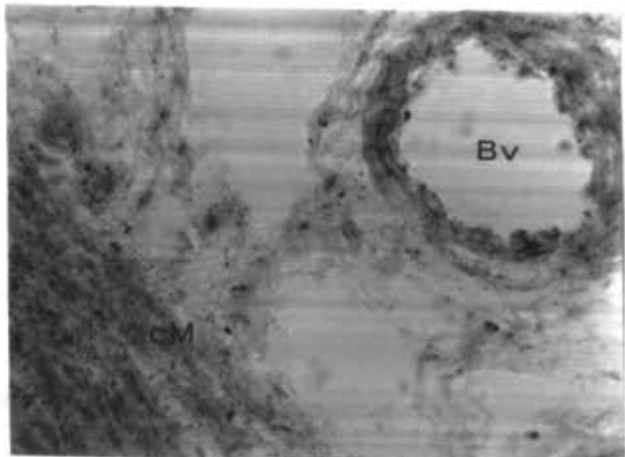
4d

แบบภาพที่ ๕

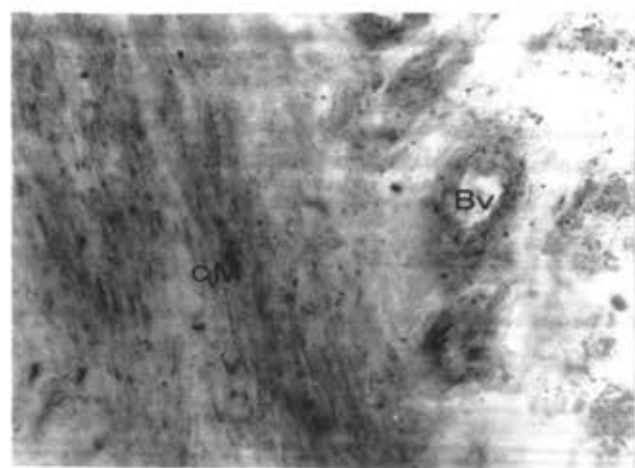
รูปที่ ๕ a - d แสดง Succinic dehydrogenase activity ในเยื่องมดลูกหมู L₆
ที่ Muscle และ Blood vessel

- รูปที่ ๕ a เป็นช่องที่อยู่ในเยื่องมดลูกหมู
- รูปที่ ๕ b เป็นช่องที่อยู่ในเยื่องมดลูกหมูทั้งสองข้าง
- รูปที่ ๕ c เป็นช่องที่อยู่ในเยื่องมดลูกหมูทั้งสองข้าง
- รูปที่ ๕ d เป็นช่องที่อยู่ในเยื่องมดลูกหมูทั้งสองข้าง และไว้รับ progesterone

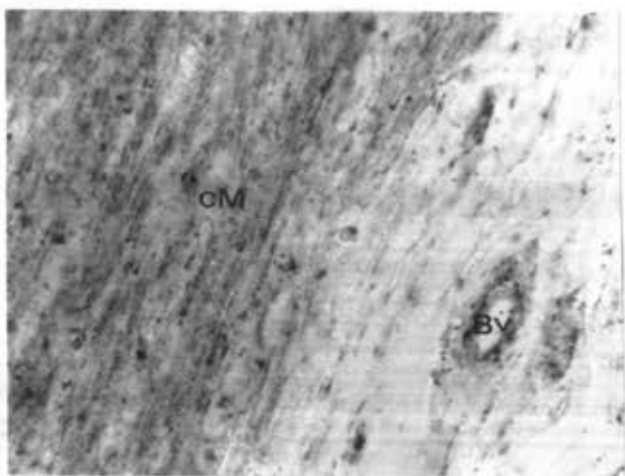
กล้องขยาย X ๔๙๐



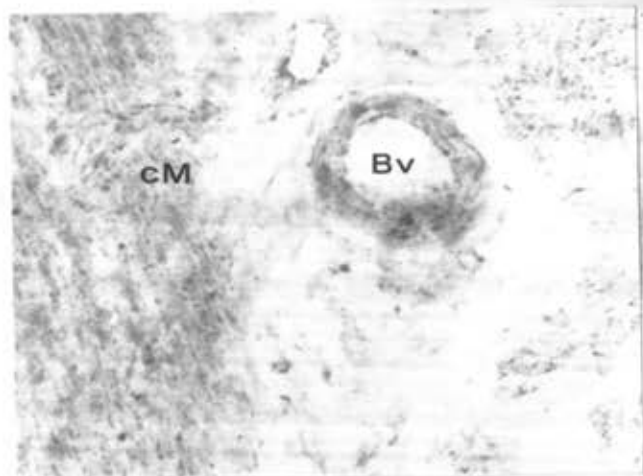
5 a



5 b



5 c



5 d

ແບນກາພີ 6

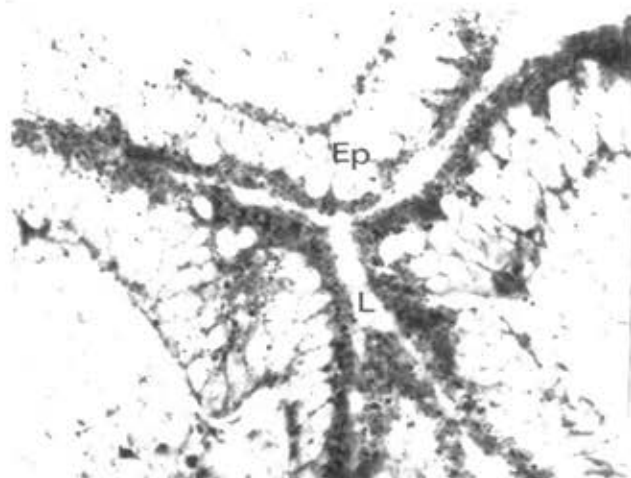
ຮູບທີ 6 a - c ແສດວ Succinic dehydrogenase activity ໃນບັນຈົນຄລູກແຂມສເຄອງ
L₆

ຮູບທີ 6 a ທີ່ນິໃຈໝາຍ Lumen

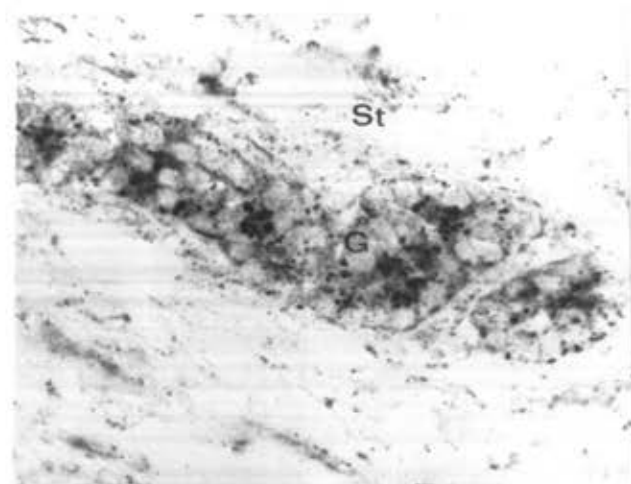
ຮູບທີ 6 b ທີ່ນິໃຈໝາຍ Gland, Stroma

ຮູບທີ 6 c ທີ່ນິໃຈໝາຍ Blood vessel ແລະ Muscle

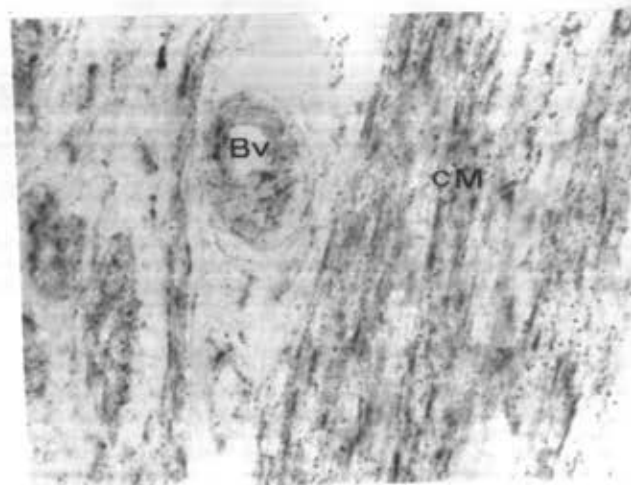
ກຳລັງຊາຍ X 490



6 a



6 b



6 c

ແຜນກາພີ້ 7

ຮູບທີ 7 a - d ແສດງຄ່າແໜນງຂອງ Adenosine triphosphatase activity ໃນນັຟ
ນົດລູກຫຸ້ນພອງ L₆

ຮູບທີ 7 a ທີ່ກະຕິບ

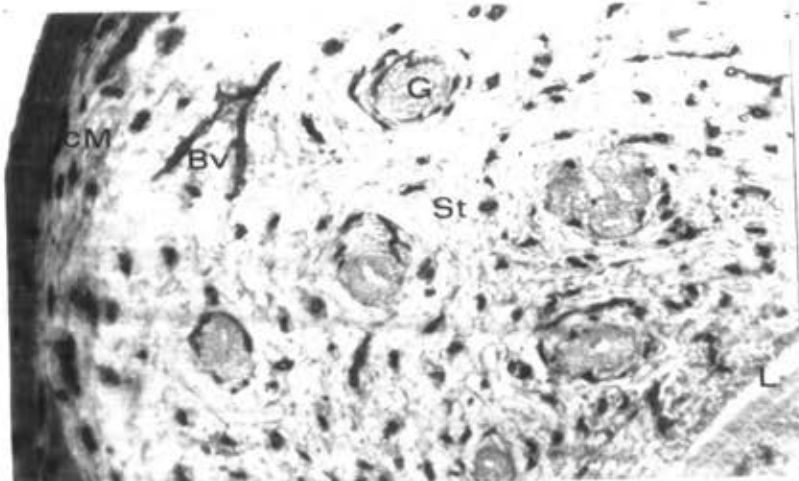
ຮູບທີ 7 b ທີ່ Gland, Blood vessel ແລະ Stroma

ຮູບທີ 7 c ທີ່ Lumen

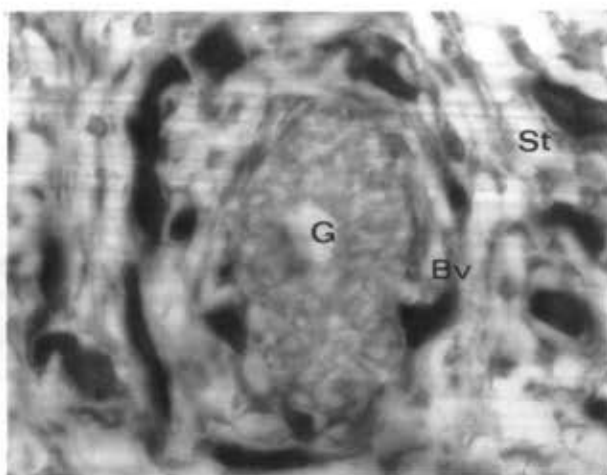
ຮູບທີ 7 d ທີ່ Muscle ແລະ Blood vessel

ຮູບທີ 7 a ກ່າລັ້ງຂຍາຍ x 120

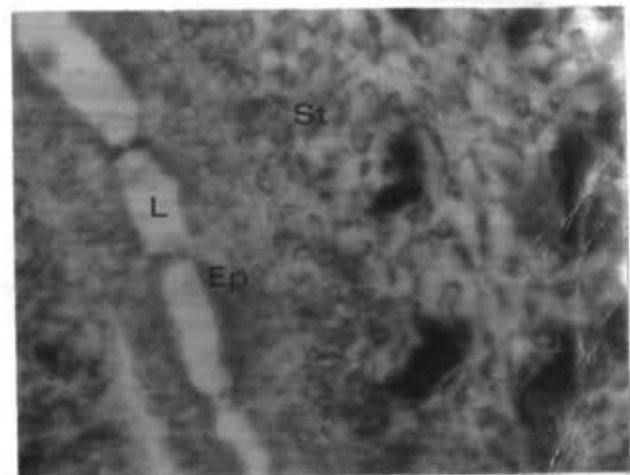
ຮູບທີ 7 b - d ກ່າລັ້ງຂຍາຍ x 490



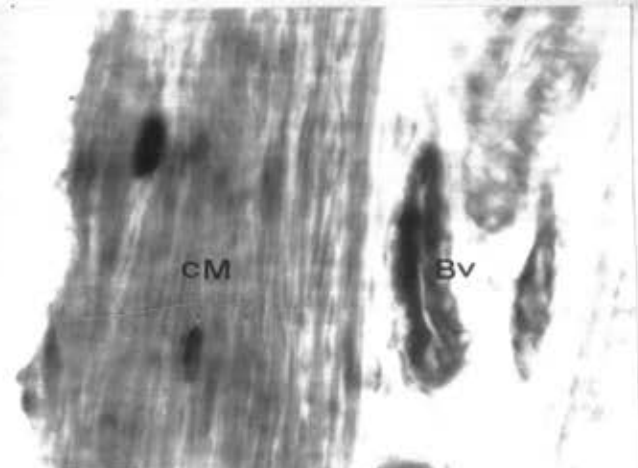
7a



7b



7c



7d

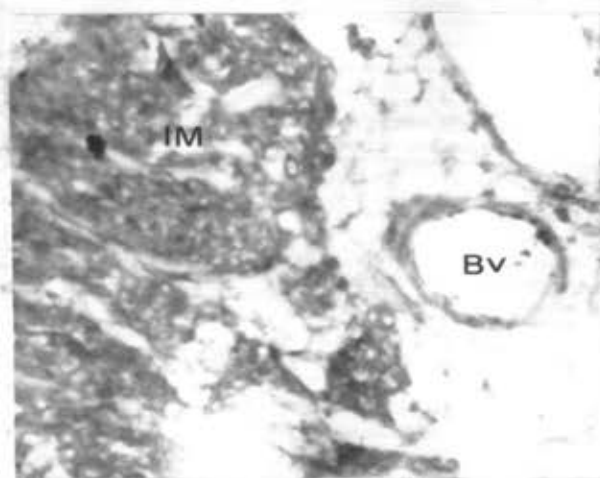
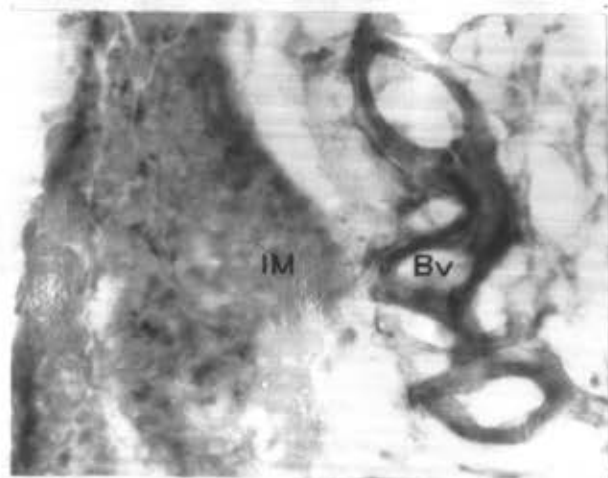
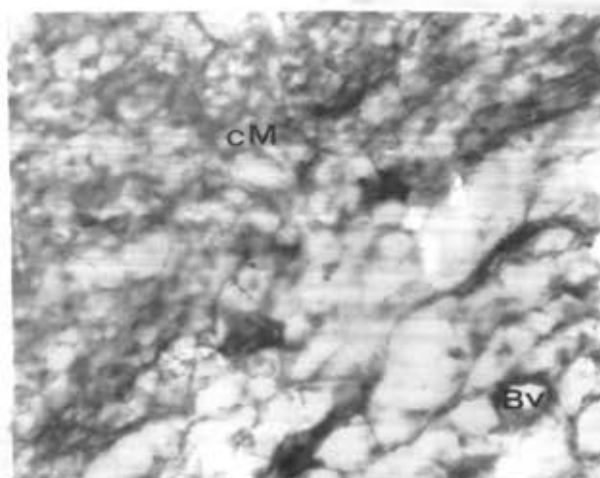
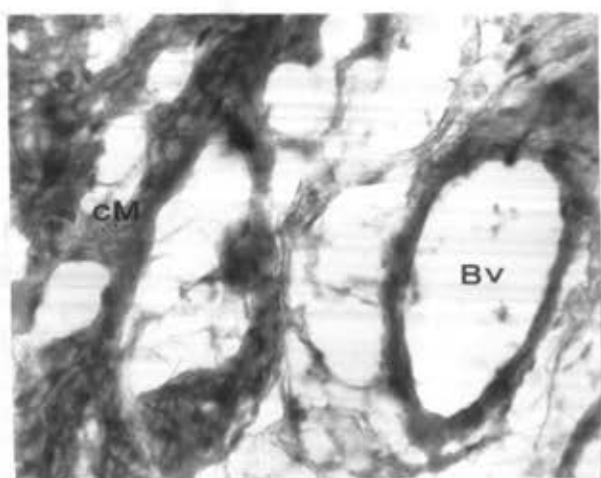
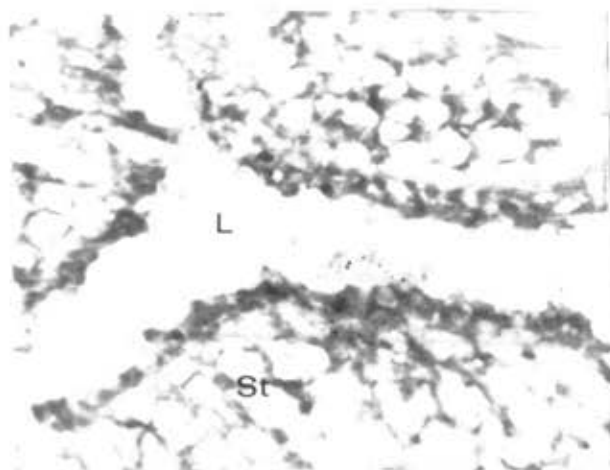
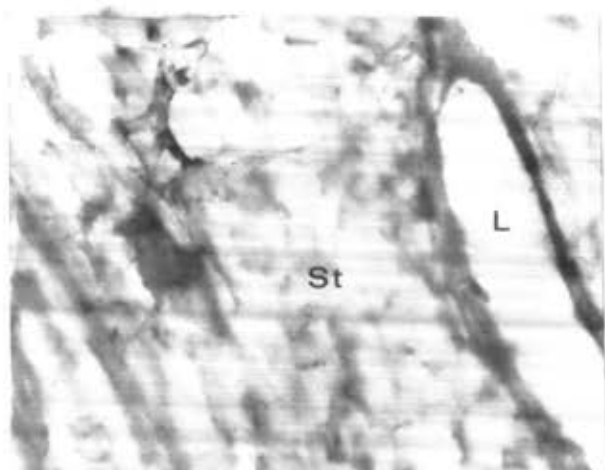
แผนภาพที่ 8

รูปที่ 8 a - d เป็น Adenosine triphosphatase activity ในเยื่องมดลูก
แอนส์เคลอร์ L₆

รูปที่ 8 a,c,e เป็นของแอนส์เคลอร์ปกติ

รูปที่ 8 b,d,f เป็นของแอนส์เคลอร์ห้องตัคริงไข้หังสองข้าง

กล้องขยาย X 490



แบบภาพที่ ๙

รูปที่ ๙ นกถูกของเย็นสเก็ตแล้วคงลักษณะโครงสร้างของเยื่อบร้าบอุคัวบ

Bv = Blood vessel

En = Endometrium

Ep = Epithelium

G = Gland

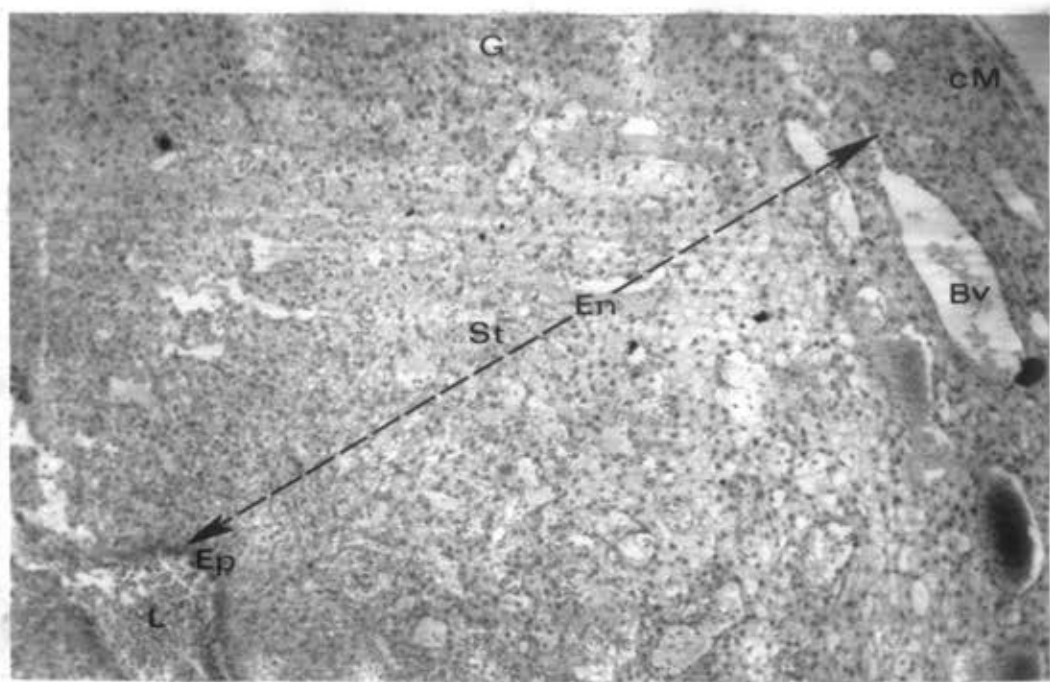
L = Lumen

cM = circular Muscle

St = Stroma

น้ำยา Haematoxylin และ Eosin

กำลังขยาย X 160



11. ผลการทำงานของ เอนไซม์ วัคซิโนลีโคไซด์เจนส์ ในผู้ป่วยมีดูโอทั่วไปและเมนส์เตอร์ โดยวิธีเคมีทางพยาบาล Histology.

การตีกัด activity ของ Succinic dehydrogenase ศึกษาจากกระตอนสีเข้มเงินของ diformazan ที่จะจับอยู่บน mitochondria ซึ่งเป็นแหล่งที่อยู่ของเอนไซม์ ถ่านสีน้ำเงินขาว ๆ ที่อยู่ใน cytoplasm เป็น enzyme ที่ diffuse ออกจาก mitochondria ในระหว่าง incubation. activity ของ Succinic dehydrogenase ในผู้ป่วยมีดูโอทั่วไปปกติ L₄ (รูป 2a, 2c, 2e) พบว่าสูงที่ epithelium ของ lumen และ gland โดยเฉพาะที่บริเวณ apical และ basal part ของเซลล์ mitochondria อยู่หนาแน่นใน muscle cell ของผนังในชั้น myometrium และช่วงยันต์ เช่นเดียวกัน activity ปานกลาง ส่วนใน stroma ของ endometrium activity ค่อนข้าง จำกัด การศึกษายังมีดูโอของหุ้นระยะ L₄ ที่หุ้นห้องที่ดูอุดตันรังไข่ทั้งสองข้างเมื่อ L₃. หุ้นห้องที่ดูอุดตันรังไข่ทั้งสองข้างเมื่อ L₃ และไอกรัง progesterone และ หุ้นห้องที่ไกรน์มากคือ prosatac stelazine ทำพัฒนาของเอนไซม์ไม่แตกต่างจากหุ้นห้องปกติแค่หุ้นห้องที่ดูอุดตันรังไข่ทั้งสองข้างเมื่อ L₃ และไกรน์ exogenous progesterone และ oestrogen ทำพัฒนาของเอนไซม์สูงขึ้นเมื่อจาก mitochondria ใน epithelium ของ gland, lumen และใน muscle เนื่องจากไออก็อกซิเจนที่อยู่ในชั้น stroma พบว่ามากขึ้นอย่างเห็นได้ชัด (เบร์บันเดินรูป 2a, 2c, 2e, 2f, 2b, 2d, 2g) ส่วนการศึกษายังมีดูโอทั่วไป L₄ ที่หุ้นห้องที่ดูอุดตันรังไข่ทั้งสองข้างเมื่อ L₃ และไกรน์ progesterone และ oestrogen การพัฒนาของเอนไซม์ไม่แตกต่างจากหุ้นห้องปกติ แต่หุ้นห้องที่ดูอุดตันรังไข่ทั้งสองข้างเมื่อ L₃. หุ้นห้องที่ดูอุดตันรังไข่ทั้งสองข้างเมื่อ L₃ และไกรน์ progesterone และหุ้นห้องที่ไกรน์มากคือ prosatac stelazine ทำพัฒนาของเอนไซม์ค่อนข้างน้อยจาก mitochondria ใน epithelium ของ lumen, gland และใน muscle น้อยลงโดยเฉพาะอย่างยิ่งในชั้น stroma พบว่าลดลงอย่างเห็นได้ชัด (เบร์บันเดินรูป 3a - d; 4a - d; 5a - d)

การพัฒนาของเอนไซม์ในผู้ป่วยมีดูโอทั่วไป L₆ พบว่าสูงที่ epithelium ของ lumen และ gland โดยเฉพาะที่บริเวณ apical และ basal part ของ

เซลล์ mitochondria อยู่หนาแน่นใน muscle cell ของหงในชั้น myometrium และของผังเย็นเดือนเพื่อการทำงานปานกลาง ส่วนใน stroma หรือ endometrium มีการทำงานค่อนข้างมาก จากการเก็บข้อมูลจากแมสเซอร์รัฐฯ L₄ นี้ แมสເຄອຣໜົງທີ່ຖູກຕັກຮັງໃຫ້ສອງຂາງເນື້ອ L₃ ແມ່ນສເຄອຣຫອງທີ່ຖູກຕັກຮັງໃຫ້ສອງຂາງເນື້ອ L₃ ແລ້ວໄກຮັບ progesterone ແລະ ແມ່ນສເຄອຣຫອງໄກຮັບຢາກປະສາດ stelazine การทำงานของເອົນໄຂມີແຕກຕ່າງໄປຈາກເອົນສເຄອຣຫວັງປົກຕົວ ອຸົດໝາຍະ distribution ຂອງ enzyme ມີໃນແມ່ນສເຄອຣຈາກຽບທີ່ 6 a - c.

12. ພັດກາຮ່າງງານຂອງ ເວັນໄຂມີ ອົດໝາຍະໃຫ້ພອຫຍາເຕັສ ໃນຍັງນັມຄຸກໝູແລະ ແມ່ນສເຄອຣໄໂຄວິຫຼິວເກຣາະພວາງ Histochemistry.

ກາຮ່າງງານຂອງເວັນໄຂມີ Adenosine triphosphatase ພິຈາລະຈາກປົກມາຍຄວາມເກີນຂອງສິນຕາລັບປັນດໍາຂອງ coboltous sulphide ທີ່ຈັບອຸ່ນໃນແຫຼ່ງທີ່ມີເຄີນໄວ້ນີ້ຂອງ tissue activity ຂອງ Adenosine triphosphatase ມີຍັງນັມຄຸກໝູຫວັງປົກຕົວ L₄ ແລ້ວ L₆ ພົບວ່າ ສູງທີ່ circular muscle, longitudinal muscle ແລະ ເສັ້ນເລືອດໃນຈັນ myometrium stroma ຂອງ endometrium ມີ activity ນອຍ ສ່ວນທີ່ epithelium ຂອງ lumen ແລະ gland ກາຮ່າງງານນັບນາກ (ຮູບທີ່ 7 a - d) ຈາກກາຮ່າງກິດຍາມັນມີຄຸກໝູໃນຮະບະ L₄ ແລ້ວ L₆ ສູ່ຫຼູຫວັງທີ່ຖູກຕັກຮັງໃຫ້ສອງຂາງເນື້ອ L₃. ຫຼູຫຼອງທີ່ຖູກຕັກຮັງໃຫ້ສອງຂາງເນື້ອ L₃ ແລ້ວໄກຮັບ progesterone, ຫຼູຫຼອງທີ່ຖູກຕັກຮັງໃຫ້ສອງຂາງເນື້ອ L₃ ແລ້ວໄກຮັບ progesterone ແລະ oestrogen ມີກາຮ່າງງານຂອງເວັນໄຂມີໃນແຕກຕ່າງຈາກຫຼູຫວັງປົກຕົວ

ສ່ວນ Adenosine triphosphatase activity ຃ີນຍັງນັມຄຸກແມ່ນສເຄອຣຫອງປົກຕົວດັກລັບກັບຂອງຫຼູຫວັງປົກຕົວໃນແມ່ນສເຄອຣຫອງທີ່ຖູກຕັກຮັງໃຫ້ສອງຂາງເນື້ອ L₃ ແລ້ວໄກຮັບ progesterone, ແມ່ນສເຄອຣຫອງທີ່ຖູກຕັກຮັງໃຫ້ສອງຂາງເນື້ອ L₃ ແລ້ວໄກຮັບ progesterone ແລະ oestrogen ແລະ ແມ່ນສເຄອຣຫອງໄກຮັບຢາກປະສາດ stelazine ກາຮ່າງງານຂອງເວັນໄຂມີໃນແຕກຕ່າງຈາກແມ່ນສເຄອຣຫວັງປົກຕົວ ແຕ່ແມ່ນສເຄອຣຫອງທີ່ຖູກຕັກຮັງໃຫ້ສອງຂາງເນື້ອ L₃ ກາຮ່າງງານຂອງເວັນໄຂມີຄ່າກວາແມ່ນສເຄອຣຫວັງປົກຕົວ (ຈູ້ນທີ່ 8a - f) ຮຶ້ງກັນກັບນຳຫາງ Histochemistry.

13. ผลการศึกษาลักษณะของ Histology ของเยื่อมดลูกหมูและเยื่อสีเครื่อง ระยะที่มีการปั้งค้าของตัวอ่อน (L₆)

ลักษณะทาง Histology ของเยื่อมดลูกหมูห้องปักคิประกอบควบคับชั้นค้าง ๆ ดังรูป 1a, 1b. แสดงนิ่งมดลูกของหมูห้องที่ถูกตัดรังไจหั้งสองข้าง เมื่อ L₃. หมูห้องที่ถูกตัดรังไจหั้งสองข้างเมื่อ L₃ และได้รับ progesterone และหมูห้องได้รับยาแก้ปวด stelazine แคกกลางจากหมูห้องปักคิเมืองจากเยื่อมดลูกหมูห้องปักคิมีการเจริญของชั้น endometrium ที่มีราก epithelium ที่อยู่ใน lumen มี crypt และเพิ่มบิวหนาของ lumen เพิ่มขนาดและจำนวน gland, รูนของ stroma ขยายขนาดกว้างขึ้น มีเส้นเลือดมาก นอกจากนี้ในชั้น myometrium เพิ่มความหนาของชั้น inner circular muscle และ outer longitudinal muscle มีเส้นเลือดเพิ่มอยู่ระหว่างชั้นของกล้ามเนื้อหั้งสอง เป็นจำนวนมาก ผิวนิ่งมดลูกค้าน mesometrium มีเส้นเลือดขนาดใหญ่จำนวนมากเพิ่มขึ้นดังที่ Label, Levy and Shelesnyak (1967) ได้รายงานไว้

ลักษณะทาง Histology ของเยื่อมดลูกเยื่อสีเครื่องห้องปักคิประกอบควบคับชั้น endometrium ซึ่งมี lumen, gland, blood vessel และ stroma; ใน myometrium ซึ่งมี inner circular muscle, outer longitudinal muscle และ blood vessel. (รูปที่ 9) ลักษณะเยื่อมดลูกของเยื่อสีเครื่องที่มีการปั้งค้าของตัวอ่อนมีค้างจากช่องที่น้ำในชั้น endometrium มี stroma กว้างมาก จำนวน gland เพิ่มขึ้น.